УДК 621.9.048.6

104-1

## АНАЛИЗ ТРАЕКТОРИИ ДВИЖЕНИЯ ИНСТРУМЕНТА ПРИ УЛЬТРАЗВУКОВОМ УПРОЧНЕНИИ С ВВЕДЕНИЕМ КОЛЕБАНИЙ ПО КАСАТЕЛЬНОЙ К ПОВЕРХНОСТИ

Самуль Артём Геннадьевич, магистрант, Кадырбаев Роман Маратович, аспирант, Юсупов Алексей Сергеевич, аспирант Научный руководитель: к.т.н. Гилета Виктор Павлович Новосибирский государственный технический университет г. Новосибирск, <a href="mailto:artem-samul@mail.ru">artem-samul@mail.ru</a>

Важной проблемой при обеспечении качества поверхностного слоя деталей является повышение степени его структурной приспосабливаемости в условиях трения. Изыскание методов обработки, создающих возможность поверхности образования на упрочняемой детали регулярных управляемых микро- и субмикрорельефов, частично решает эту проблему. К числу наиболее совершенных методов получения регулярных микро- и субмикрорельефов можно отнести ультразвуковую упрочняюще-чистовую обработку (УЗО) [1]. Данный вид обработки основан на высокочастотном, скоростном пластическом деформировании поверхностных слоев металла при сложном относительном перемещении упрочняемой поверхности и индентора. В настоящее время при УЗО в основном применяется схема с введением колебаний по нормали к поверхности, закономерности формирования качества поверхности при которой хорошо изучены [2]. Ограниченное использование других схем обусловлено отсутствием технологических рекомендаций по формированию поверхностного слоя, с требуемыми геометрическими и физикомеханическими параметрами.

Целью данной работы являлось установление закономерностей расположения следов обработки, при ультразвуковом упрочнении с введением колебаний по касательной к обрабатываемой поверхности.

В работе рассмотрена схема ультразвукового упрочнения цилиндрических деталей. Для описания траектории следов инструмента необходимо рассмотреть все движения, которые имеют место при взаимном перемещении деформатора по отношению к обрабатываемой поверхности. При упрочнении детали сообщается вращательное движение со скоростью V, а инструменту подача S, колебания с частотой f и амплитудой A. Рассматривается вариант, когда колебания направлены по касательной к поверхности, с различной ориентацией к окружной скорости. Перемещение инструмента относительно поверхности можно описать перемещениями вдоль осей x (направление подачи) и y (окружное направление).

$$x = Snt + A \cdot \sin(2\pi f t) \cos(\beta), \tag{1}$$

$$y = \pi Dnt + A \cdot \sin(2\pi f t) \sin(\beta), \tag{2}$$

где S — продольная подача индентора, n — частота вращения детали, t — текущее время, D — диаметр детали, A — амплитуда колебаний индентора, f — частота

колебаний,  $\beta$  — направление колебаний по отношению к направлению окружной скорости.

104-2

Суммарные перемещения z деформатора в декартовой системе координат:

$$z = \sqrt{x^2 + y^2} \tag{3}$$

Анализ уравнений 1-2 показывает, что на поверхности формируется след обработки в виде синусоиды, средняя линия которой наклонена под углом наклона α к окружной скорости и описывается уравнениями.

$$x_1 = Snt (4)$$

$$y_1 = \pi D n t \tag{5}$$

$$z_2 = \sqrt{x_1^2 + y_1^2} \tag{6}$$

$$z_2 = \sqrt{x_1^2 + y_1^2}$$

$$\alpha = \operatorname{arctg} \frac{S}{\pi \cdot D}$$
(6)

При малых значениях угла α уравнение 4 можно преобразовать в уравнение 8:

$$\alpha = \frac{S}{\pi \cdot D} \tag{8}$$

Влияние угла  $\beta$  на формирование следа обработки, при технологических параметрах: n = 1000 об/мин; S = 0.1 мм; D = 40 мм; A = 2 мкм; f = 22 кГц, показано на рисунках 1-2.

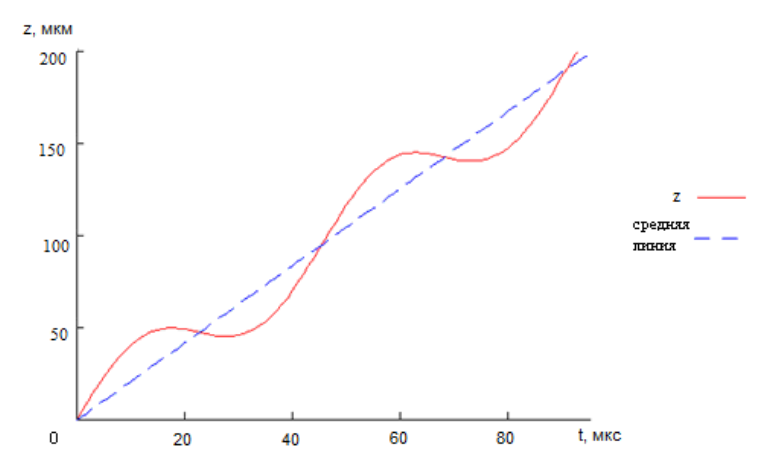


Рисунок 1 — Траектория движения индентора при  $\beta = \pi/2$ 

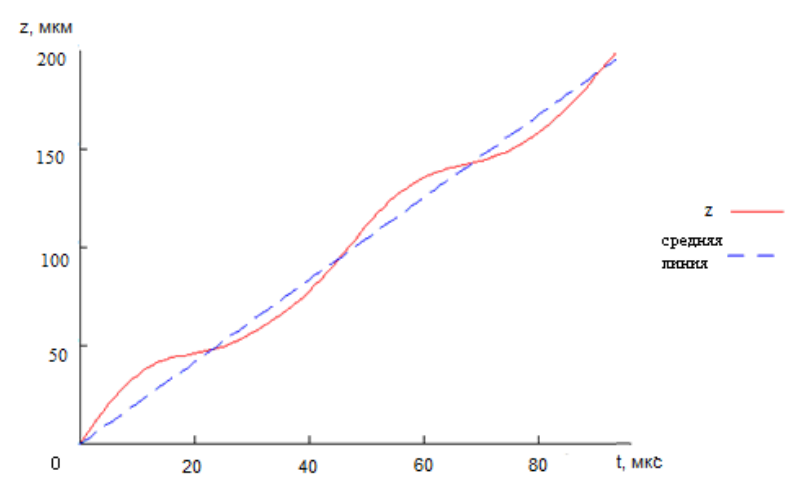


Рисунок 2 — Траектория движения индентора при  $\beta = \pi/6$ 

рисунков период синусоиды зависит видно ИЗ частоты ультразвуковых колебаний, а размах следа, относительно средней линии - от амплитуды колебаний и угла  $\beta$ .

Для анализа взаиморасположения траекторий движения инструмента рассмотрим развёртку поверхности.

На развёртке единичного следа количество укладываемых периодов колебаний будет описываться уравнением:

$$M + m = \frac{\pi D}{L_T},\tag{9}$$

где М, т – целое и соответственно дробное число периодов колебаний укладываемых на единичном следе инструмента за один оборот детали;  $L_T$  – путь проходимый инструментом за период колебаний по средней линии, который можно описать уравнением:

$$L_T = \frac{1}{f} \sqrt{x_3^2 + y_3^2} \tag{10}$$

В связи с тем, что на длине следа за один оборот детали укладывается не целое число периодов синусоиды, то следы при втором и последующих оборотах будут смещаться относительно предыдущего на величину l, для учёта величины которого в уравнения 1-2 необходимо ввести фазовый сдвиг  $\varphi$ , который варьируется в пределах  $0 < \varphi < 2\pi$  и зависит от диаметра детали и технологических параметров обработки. Поэтому траектория точек следа следующих оборотов описывается уравнениями:

$$x_3 = Snt + A \cdot \sin(2\pi f t + \varphi)\cos(\beta) \tag{11}$$

$$x_3 = Snt + A \cdot sin(2\pi ft + \varphi) \cos(\beta)$$

$$y_3 = \pi Dnt + A \cdot sin(2\pi ft + \varphi) \sin(\beta)$$

$$z_3 = \sqrt{x_3^2 + y_3^2}$$

$$(13)$$

$$z_3 = \sqrt{x_3^2 + y_3^2} \tag{13}$$

Графическое представление уравнений 11-13 при различных значениях параметра  $\phi$  представлено на рисунках 3-5.

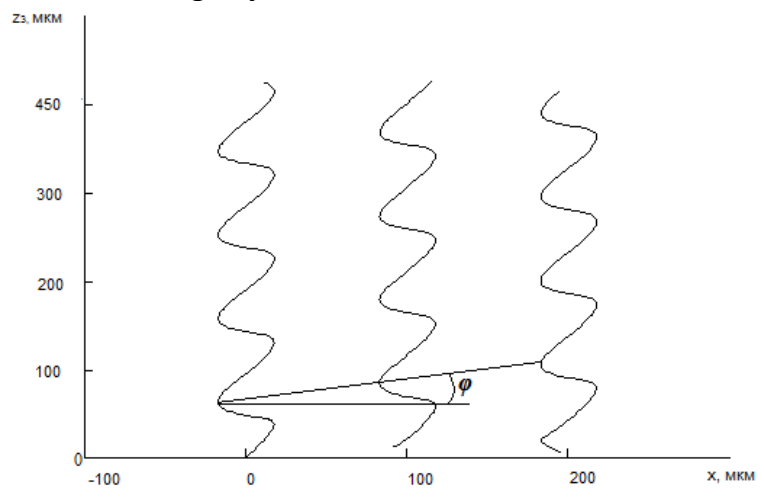


Рисунок 3 — Взаимное расположение следов обработки при  $\varphi = 30^{\circ}$ 

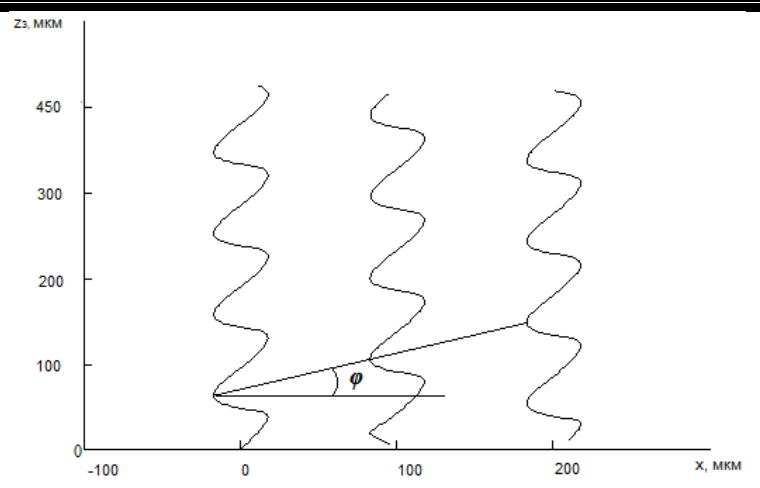


Рисунок 4 — Взаимное расположение следов обработки при  $\varphi = 60^{\circ}$ 

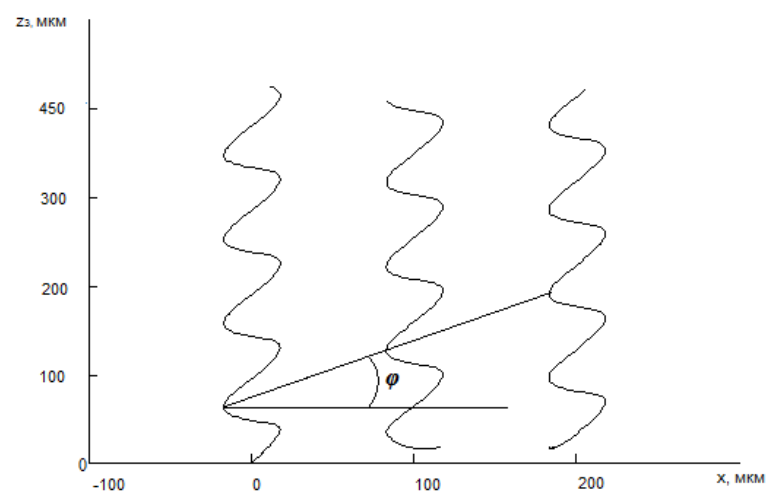


Рисунок 5 — Взаимное расположение следов обработки при  $\varphi = 90^{\circ}$ 

Из рисунков 3-5 видно, что при варьировании значения  $\varphi$  происходит изменение величины сдвига следа между соседними следами инструмента, меняется расстояние между характерными точками соседних траекторий.

На основании работы можно сделать следующие выводы:

- угол  $\beta$  будет являться технологическим параметром, варьирование которым позволяет формировать синусоидальный след с различными амплитудными характеристиками
- взаимное расположение следов обработки имеет регулярный характер и определяется величиной фазового сдвига  $\varphi$ , зависящего от диаметра детали и технологических параметров обработки.

## Литература:

- 1. Гилета В.П., Исхакова Г.А., Моделирование процесса формирования регулярного рельефа при ультразвуковом алмазном выглаживании // Сверхтвердые материалы. 1987. №5.- С. 53-58.
- 2. Семенов, С.В. Разработка технологии безабразивного ультразвукового полирования, основанного на адиабатическом сдвиге металла поверхностного слоя: дис. ... канд. техн. наук: 05.02.01 / С.В. Семенов. М., 1994. 223 с.